

2023-2024 年度考核

答 辩 人:平荣刚

内容:

- 一、岗位职责
- 二、本年度工作情况
- 三、存在问题
- 四、下年度工作计划

一、岗位职责

- **BESIII**数据物理分析工作
- **BOSS**事例产生子软件的维护和升级

二、本年度工作情况

1. 研究任务完成情况

➤ **BESIII**事例产生子的软件工作

KKMC, BesEvtGen, Babayaga等10多个BESIII事例产生子软件的BOSS71x
升级维护

- I. **KKMC+BesEvtGen**: 解决了gcc49升级后LundCharm模型不工作的问题
- II. **BesEvtGen**: 维护多道初态辐射产生子的截面数据
- III. 升级**BabayagaNLO**: 解决了它在 $\psi(2S), J/\psi$ 点参数事例太慢的问题
- IV. 在邮件、qq群、微信群提供**BES**合作组成员对产生子使用的帮助

➤ 产生子研究工作对**BESIII**的文章的直接贡献

Event generators at BESIII

#1

Rong-Gang Ping (Beijing, Inst. High Energy Phys.) (2008)

Published in: *Chin.Phys.C* 32 (2008) 599

新增99引用

DOI cite claim

reference search

527 citations

An exclusive event generator for e^+e^- scan experiments

#1

Rong-Gang Ping (Beijing, Inst. High Energy Phys.) (Sep 16, 2013)

Published in: *Chin.Phys.C* 38 (2014) 083001 • e-Print: 1309.3932 [hep-ph]

新增17引用

pdf DOI cite claim

reference search

107 citations

Tuning and Validation of the Lundcharm Model with J/ψ Decays

#1

Rui-Ling Yang (SWU, Chongqing), Rong-Gang Ping (Beijing, Inst. High Energy Phys.), Hong Chen (SWU, Chongqing) (2014)

Published in: *Chin.Phys.Lett.* 31 (2014) 061301

新增66引用

DOI cite claim

reference search

262 citations

➤ BEPCII束流的横向极化测量

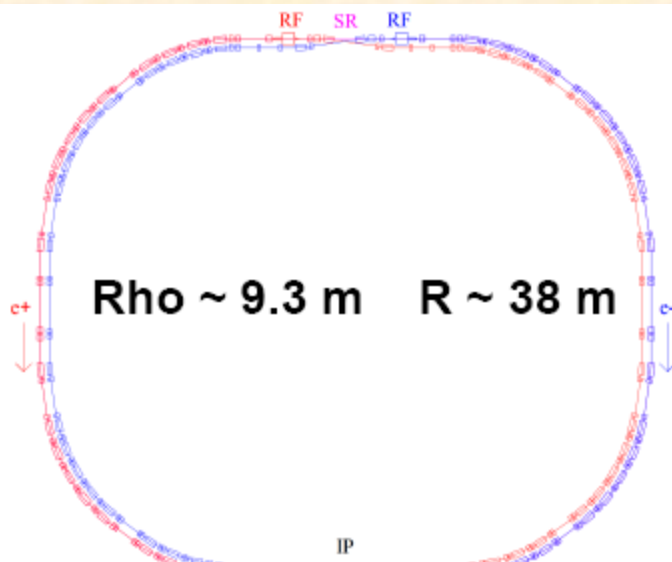
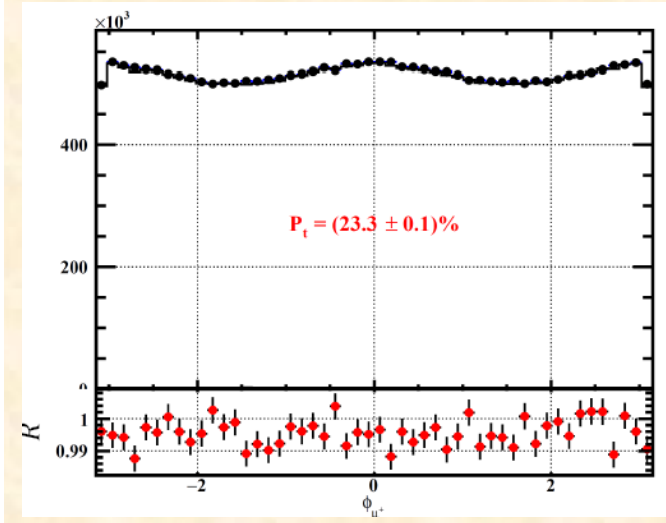
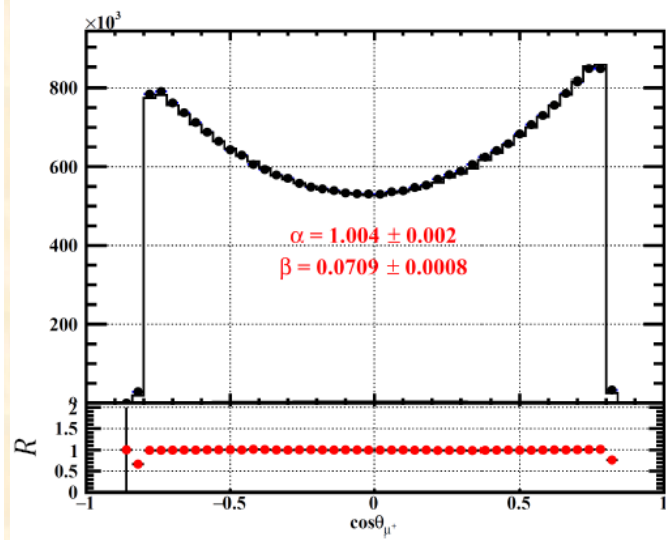
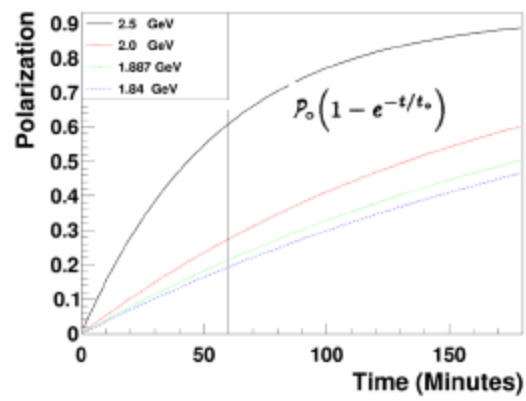
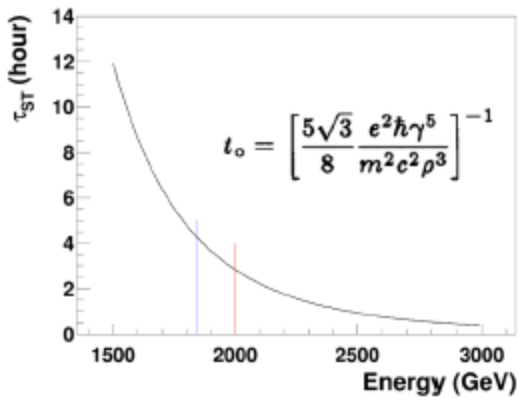


Figure 1: The BEPCII Complexity



J.S. Luo, Beam polarization measurement of $e^+e^- \rightarrow \mu^+\mu^-$ at $\sqrt{s} = 3.686$ GeV, BEIII workshop at Shengyang,

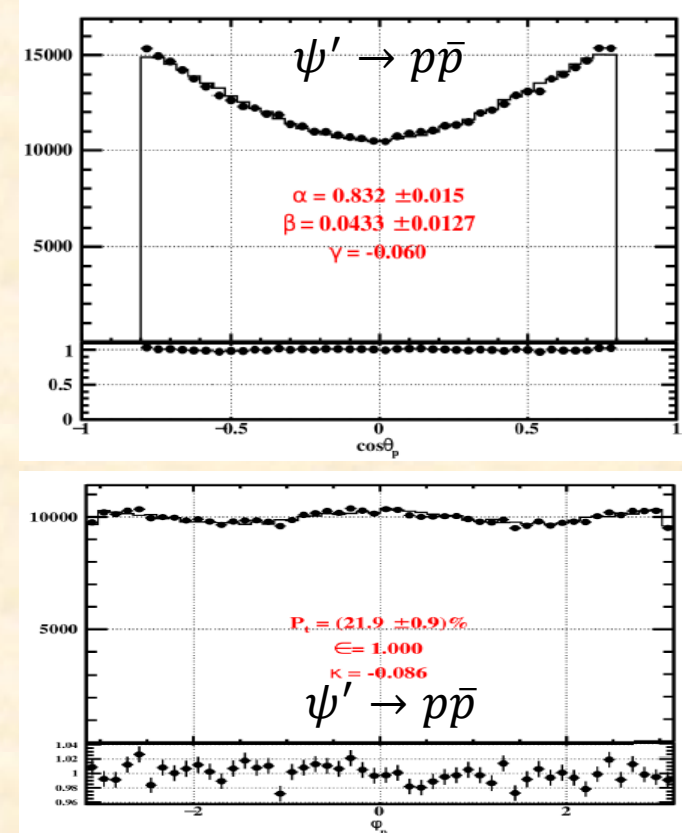
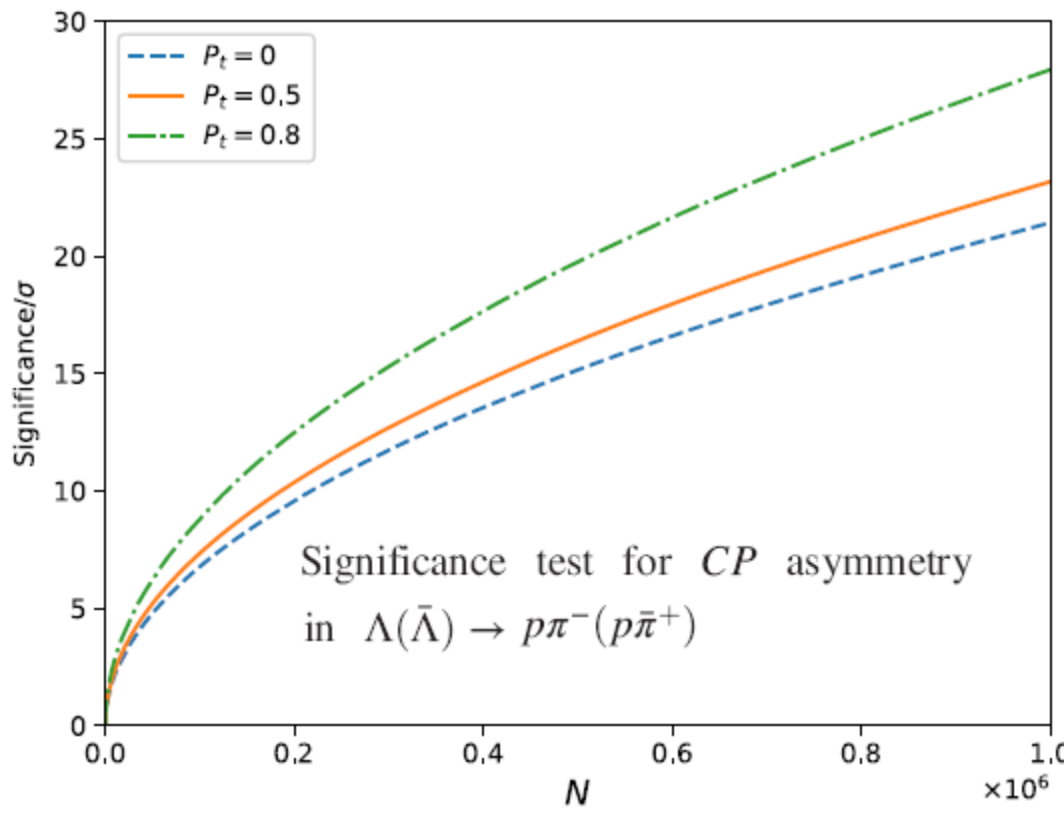
➤ BEPCII束流的横向极化的应用

PHYSICAL REVIEW D 110, 014035 (2024)

Production and decay of hyperons in a transversely polarized electron-positron collider

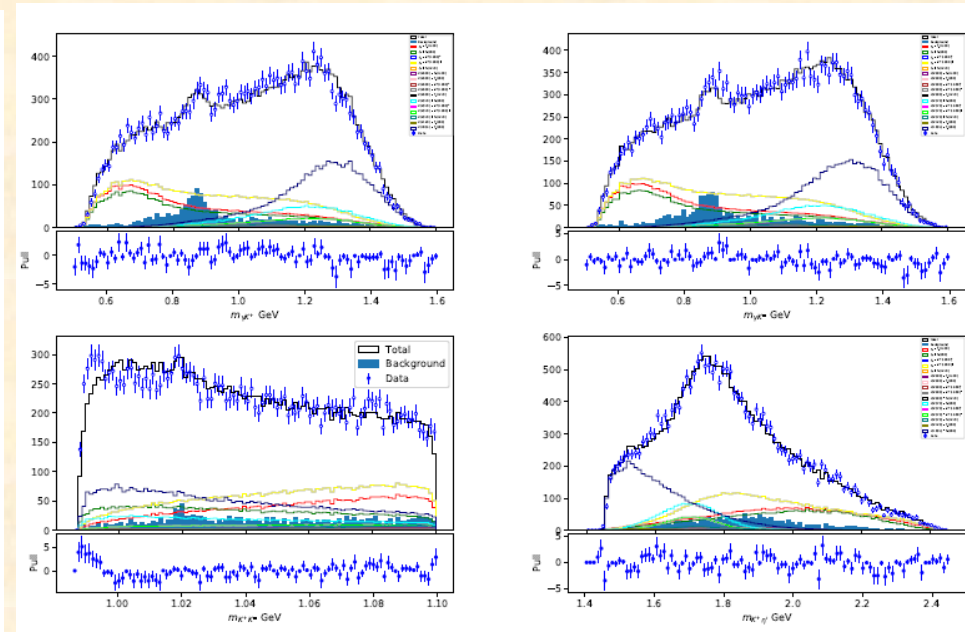
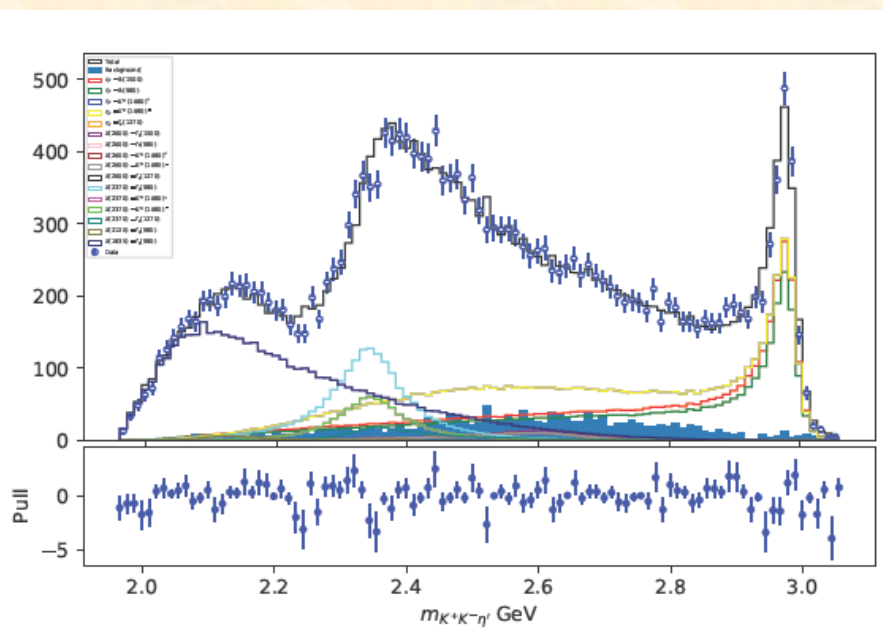
Xu Cao^{1,2,3,*}, Yu-Tie Liang^{1,2,†} and Rong-Gang Ping^{1,4,2,‡}

Zhi Gao, Improved measurement of $\psi' \rightarrow p\bar{p}$, talk at BESIII workshop, September 24th, 2024

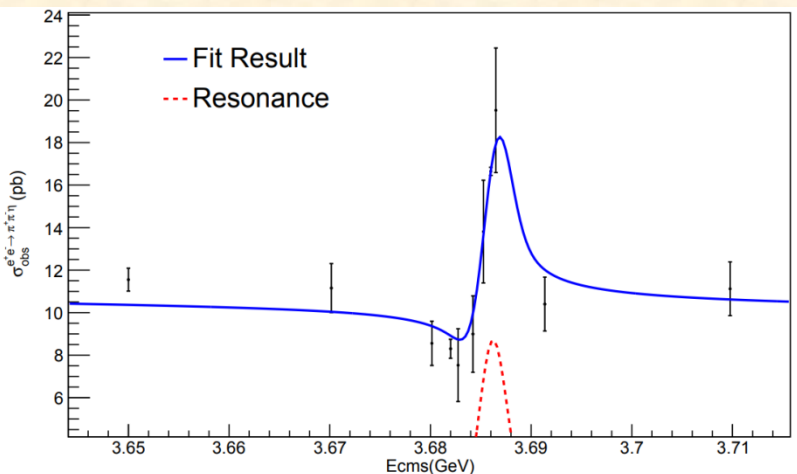
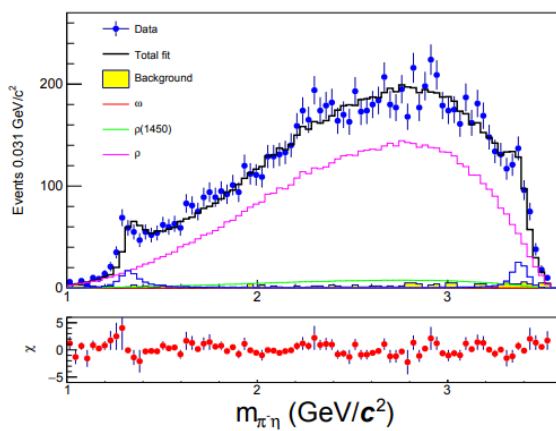
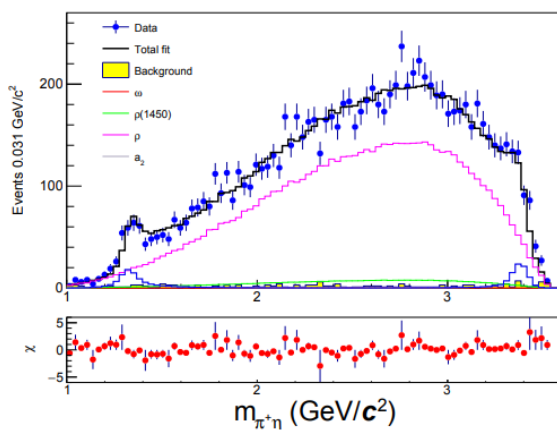
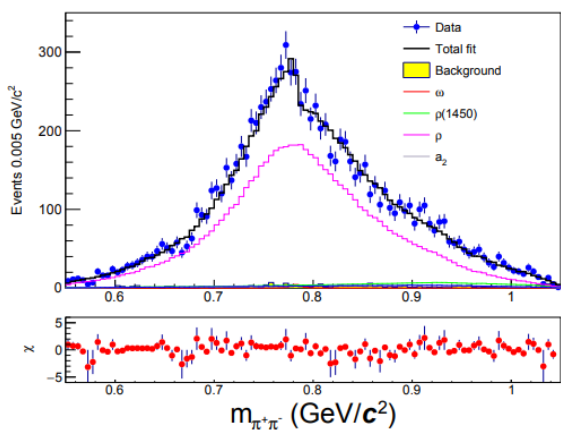
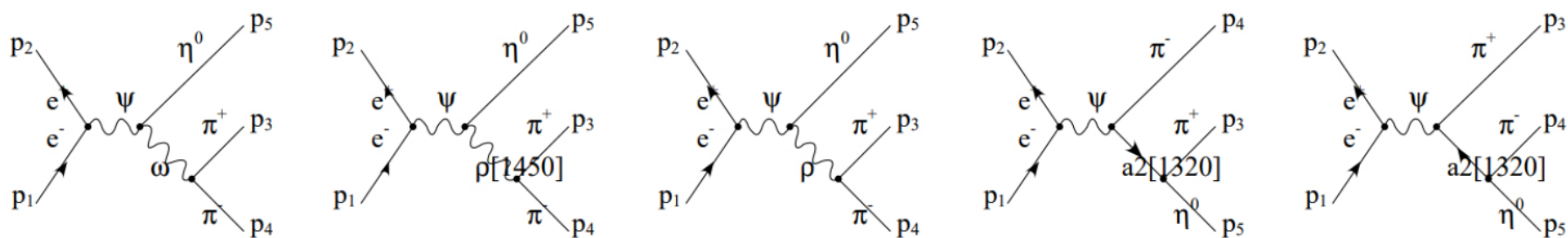


➤ $X(2370)$: $J/\psi \rightarrow \gamma K^+ K^- \eta$

- Lattice QCD predicts the existence of a pseudoscalar glueball in mass range $2.3 - 2.6 \text{ GeV}/c^2$, and the **X(2370)** is a potential candidate.
- The **X(2370)** is observed in $J/\psi \rightarrow \gamma \pi^+ \pi^- \eta'$ (2009 J/ψ data) and confirmed in $J/\psi \rightarrow \gamma K \bar{K} \eta'$ (2009, 2012 J/ψ data) with 8.3σ .
- After performing PWA analysis on J/ψ data collected in 2009, 2012, 2018 and 2019, the quantum number and mass-width of X(2370) can be determined in a higher significance.



➤ BAM-00889: PWA for $\psi(2S) \rightarrow \pi^+ \pi^- \eta$



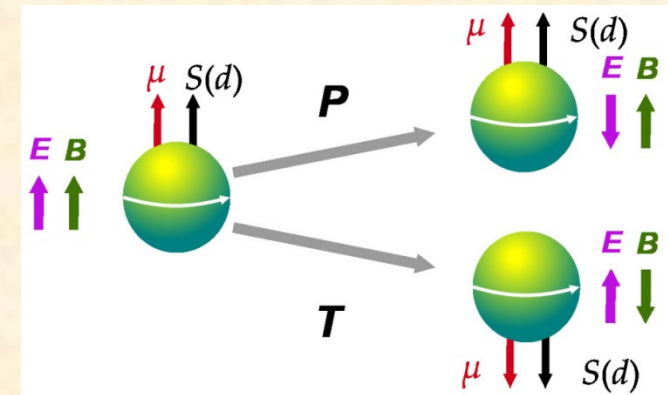
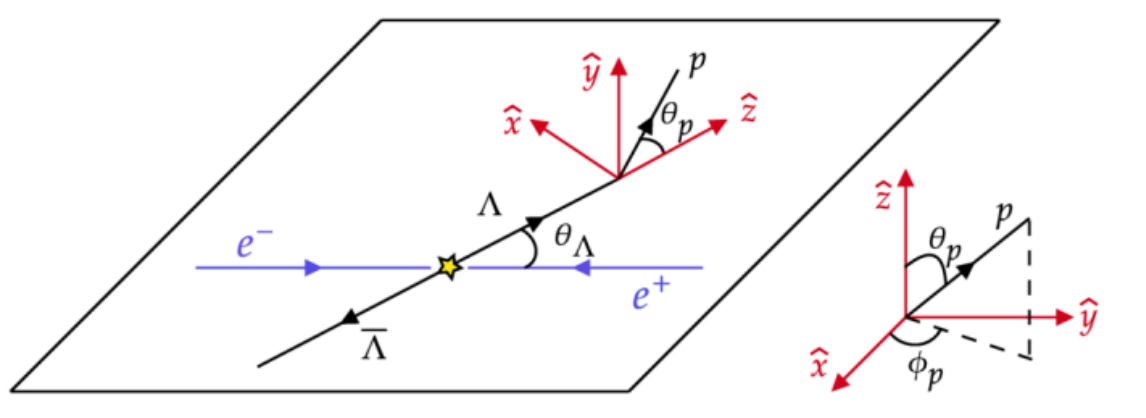
$$\mathcal{B}_{\psi(2S) \rightarrow \rho \eta} = (1.032 \pm 0.077_{(stat)} \pm 0.038_{(syst)}) \times 10^{-5}.$$

$$\mathcal{B}_{\psi(2S) \rightarrow a_2^\pm \pi^\mp} = (2.670 \pm 0.416_{(stat)} \pm 0.243_{(syst)}) \times 10^{-5}$$

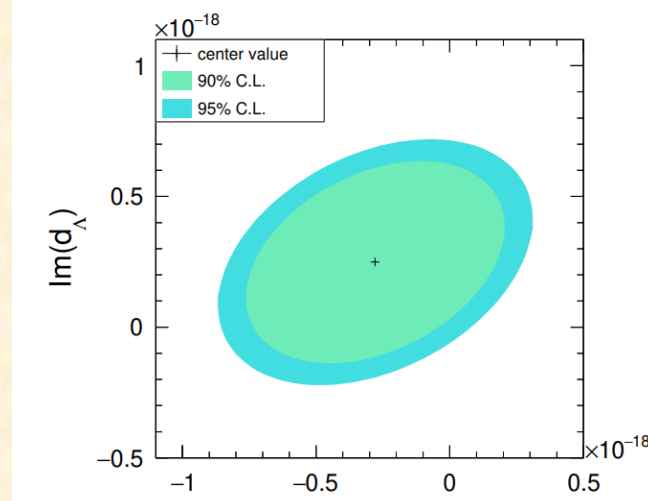
$$\mathcal{B}_{\psi(2S) \rightarrow \omega \eta} = (1.182 \pm 0.473_{(stat)} \pm 0.103_{(syst)}) \times 10^{-7}$$

➤ 寻找CP破坏源： Λ 的电偶极矩

BAM-00779: Search for Lambda electric dipole moment in J/psi decay



Paras	Published results	Our fit
α_Λ	$(7.519 \pm 0.036 \pm 0.024) \times 10^{-1}$ [41]	$(7.524 \pm 0.036 \pm 0.008) \times 10^{-1}$
$\alpha_{\bar{\Lambda}}$	$(-7.559 \pm 0.036 \pm 0.030) \times 10^{-1}$ [41]	$(-7.571 \pm 0.036 \pm 0.008) \times 10^{-1}$
$Re(G_2)$	-	$(9.71 \pm 0.06 \pm 0.24) \times 10^{-4}$
$Im(G_2)$	-	$(9.14 \pm 0.04 \pm 0.23) \times 10^{-4}$
P_L	-	$(-1.8 \pm 1.2 \pm 0.8) \times 10^{-3}$
$Re(F_A)$	-	$(-2.4 \pm 1.6 \pm 3.1) \times 10^{-6}$
$Im(F_A)$	-	$(-7.9 \pm 3.7 \pm 2.5) \times 10^{-6}$
$Re(H_T)$	-	$(-1.4 \pm 1.4 \pm 0.2) \times 10^{-6}$
$Im(H_T)$	-	$(1.3 \pm 1.2 \pm 0.4) \times 10^{-6}$
$\alpha_{J/\psi}$	$(4.748 \pm 0.022 \pm 0.031) \times 10^{-1}$ [41]	$(4.748 \pm 0.022 \pm 0.017) \times 10^{-1}$
$\Delta\phi$	$(7.521 \pm 0.042 \pm 0.066) \times 10^{-1}$ [41]	$(7.552 \pm 0.042 \pm 0.013) \times 10^{-1}$
A_{CP}	$(-2.5 \pm 4.6 \pm 1.2) \times 10^{-3}$ [41]	$(-3.1 \pm 4.6 \pm 1.1) \times 10^{-3}$
$\sin^2\theta_W$	-	$(-1.5 \pm 1.2 \pm 2.6) \times 10^{-1}$
$Re(d_\Lambda)$	$d_\Lambda < 1.5 \times 10^{-16} e \text{ cm}$ [30]	$(-3.1 \pm 3.2 \pm 0.5) \times 10^{-19}$
$Im(d_\Lambda)$		$(2.9 \pm 2.6 \pm 0.6) \times 10^{-19}$

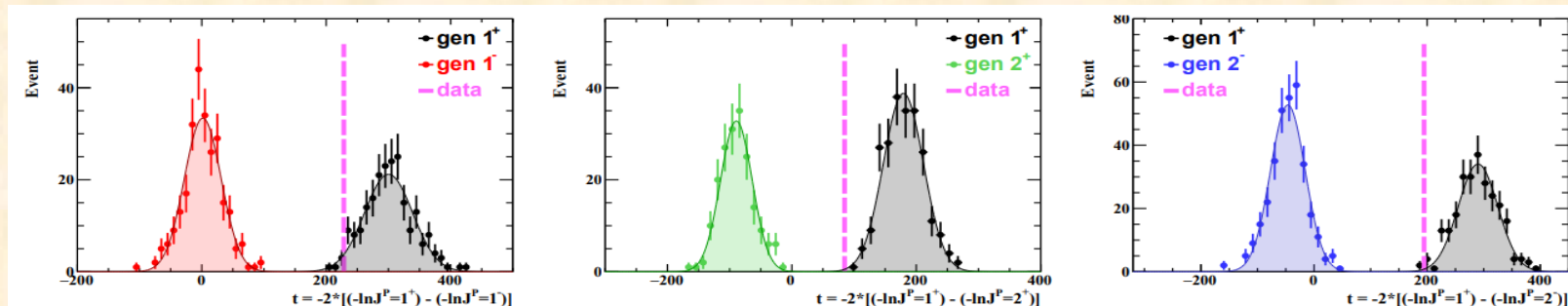
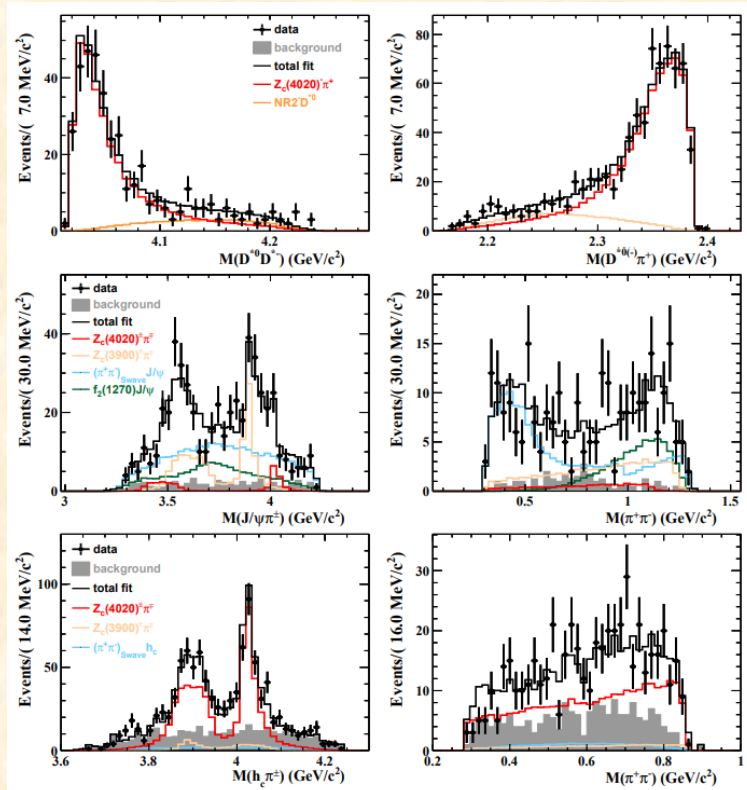
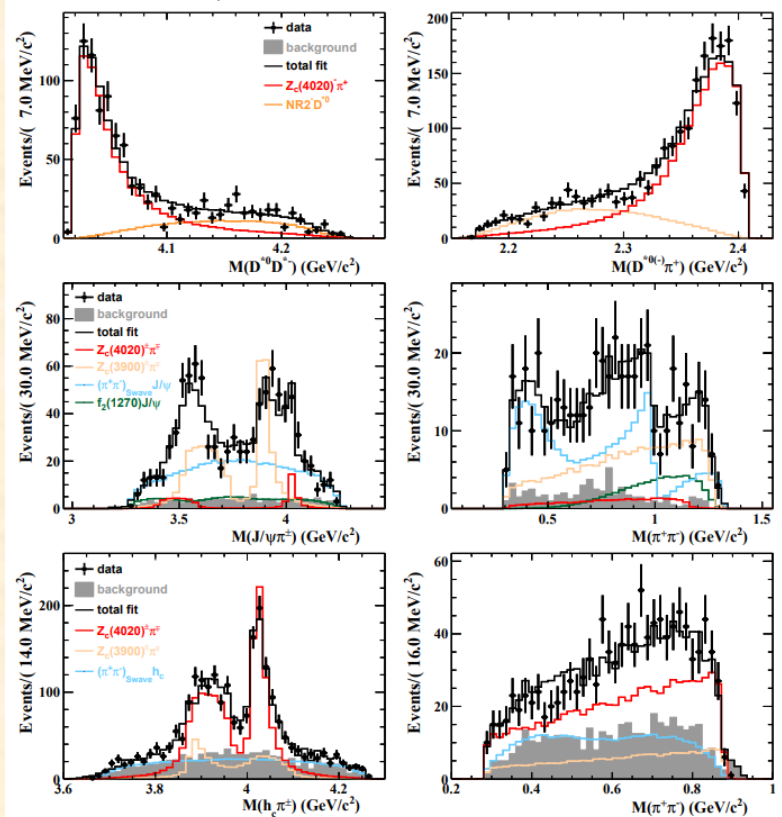


Z_c(4420) 自旋量子数的测量

BAM-00752: Coupled channel analysis of Zc(4020/4025)+

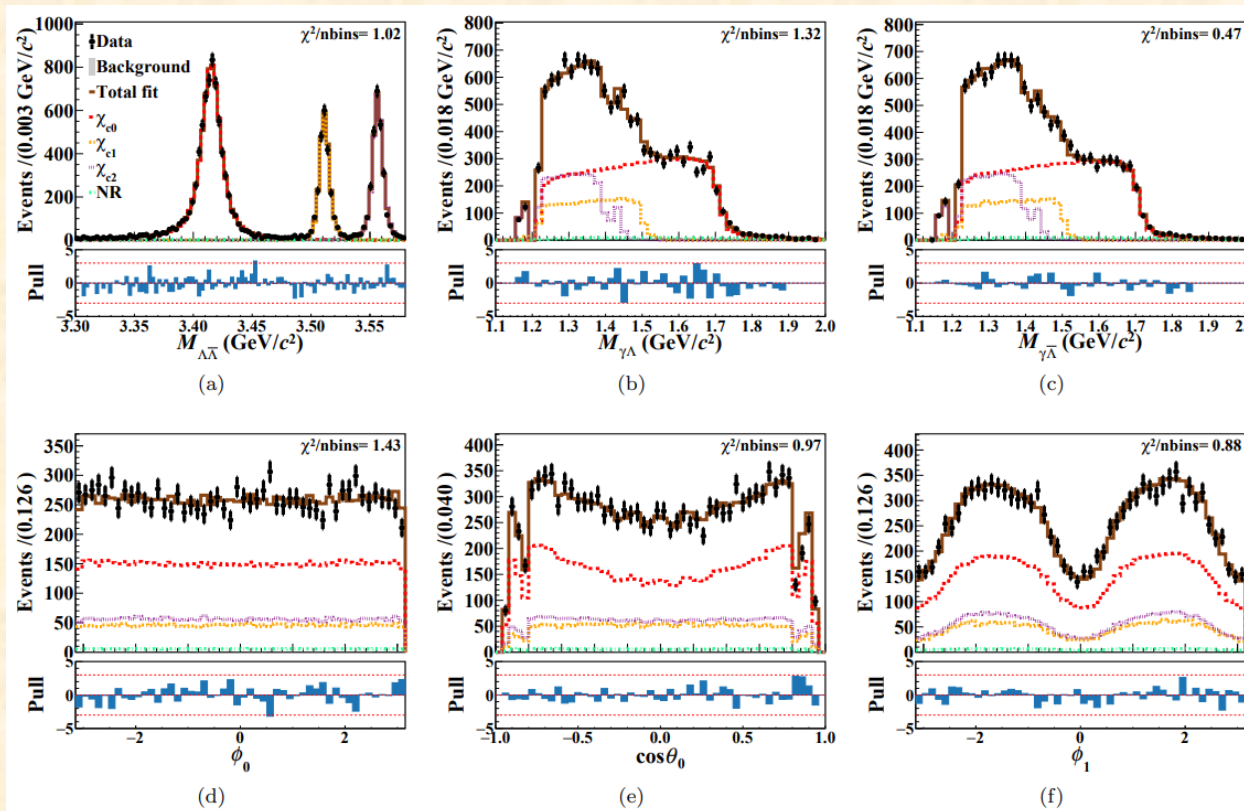
$\sqrt{s} = 4.416 \text{ GeV}$

$\sqrt{s} = 4.395 \text{ GeV}$



► $\chi_{cJ} \rightarrow \Lambda\bar{\Lambda}$ 衰变的螺旋度振幅分析

BAM-00825: Study of $\chi_{cJ} \rightarrow \Lambda\bar{\Lambda}$

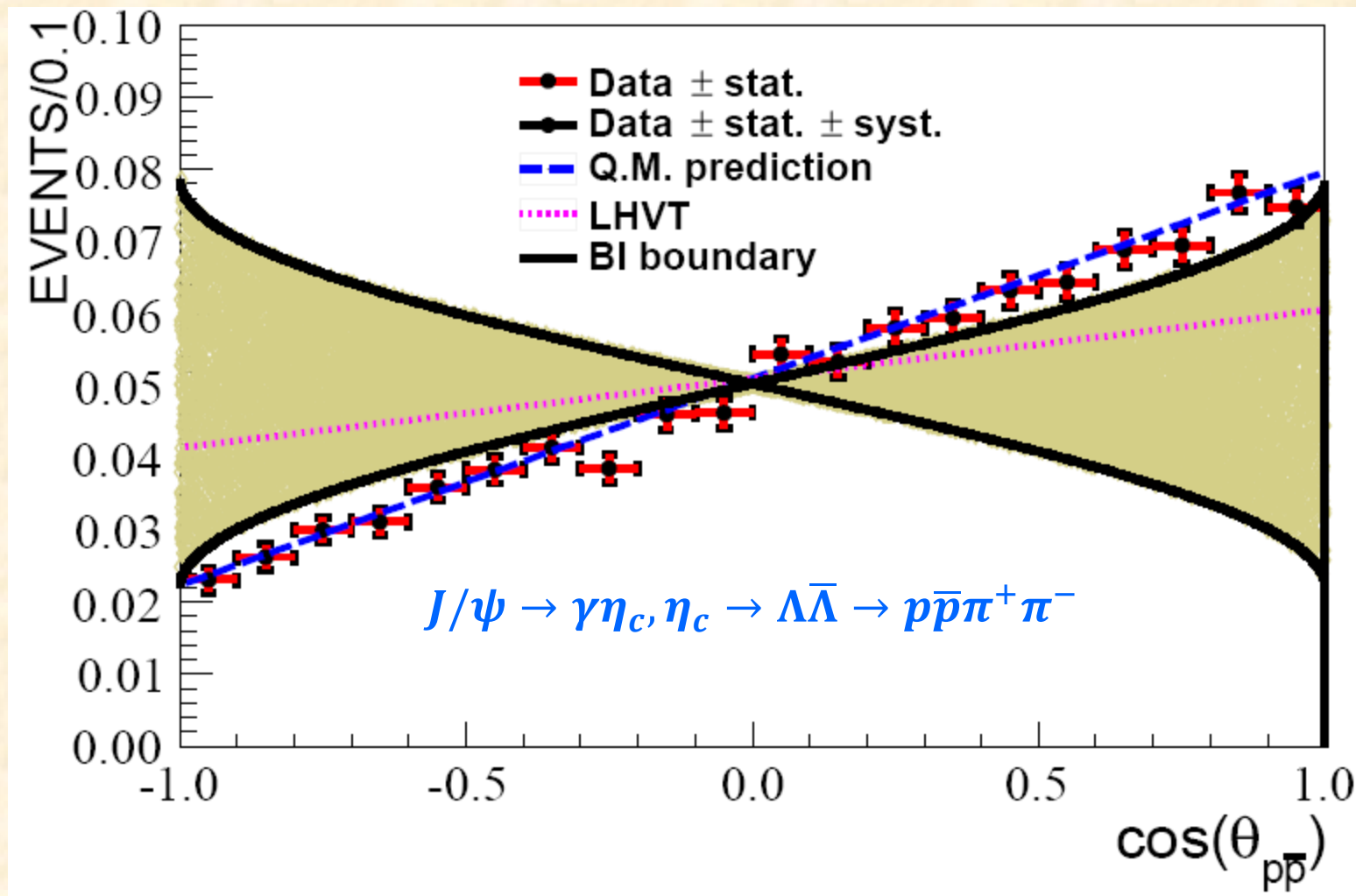


Branching fraction	This work ($\times 10^{-4}$)	PDG ($\times 10^{-4}$)
$\mathcal{B}(\chi_{c0} \rightarrow \Lambda\bar{\Lambda})$	$3.953 \pm 0.050 \pm 0.121$	3.59 ± 0.15
$\mathcal{B}(\chi_{c1} \rightarrow \Lambda\bar{\Lambda})$	$1.295 \pm 0.029 \pm 0.042$	1.27 ± 0.08
$\mathcal{B}(\chi_{c2} \rightarrow \Lambda\bar{\Lambda})$	$1.844 \pm 0.038 \pm 0.052$	1.83 ± 0.16

➤ 超子极化

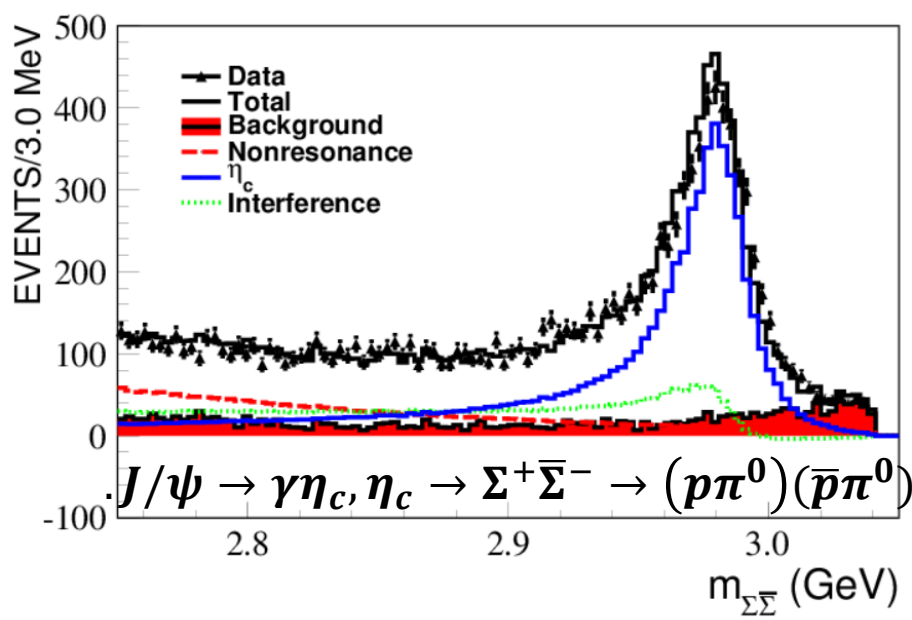
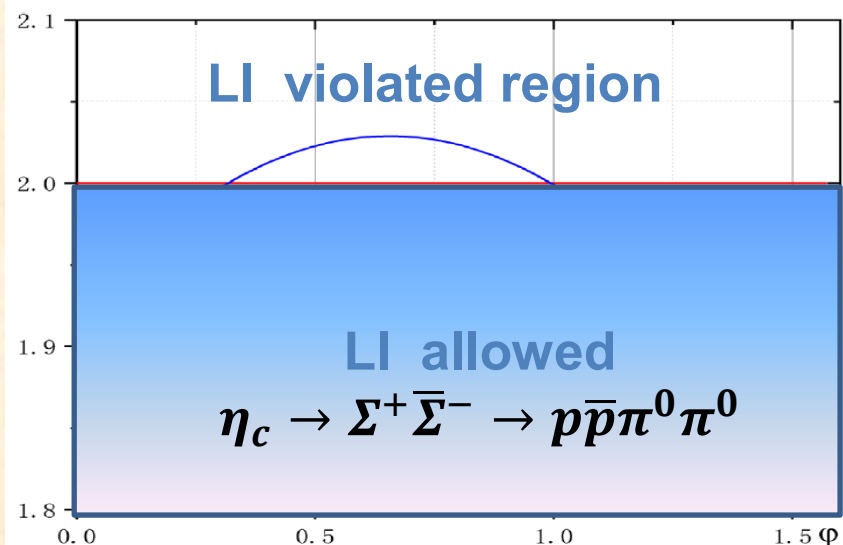
□ 局域隐变量理论的检验 (EPR佯谬检验)

BAM-00505: submitted to Nature Communications



➤ 超子极化

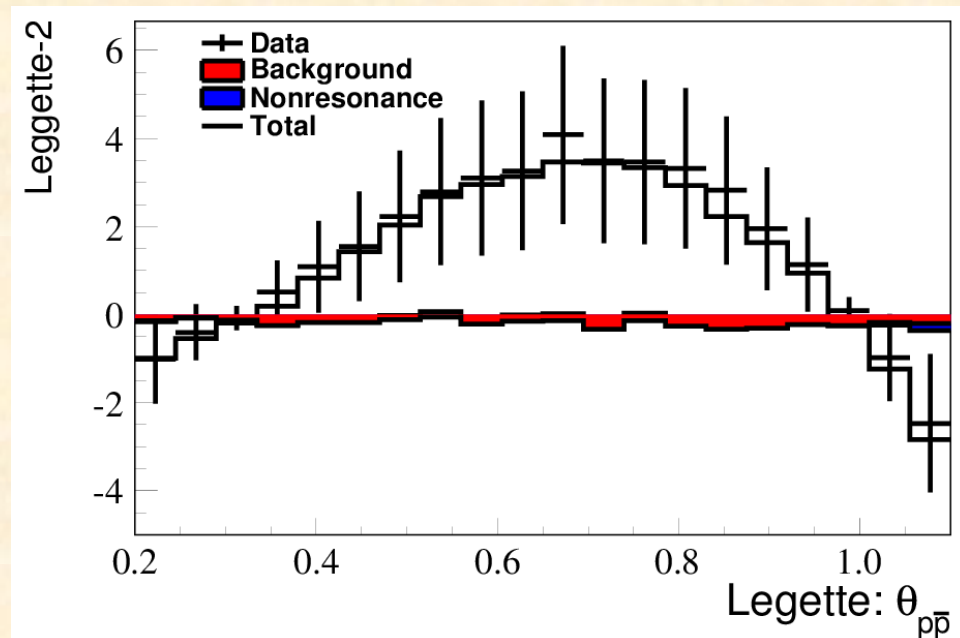
□ 非局域隐变量理论的检验 (Leggett不等式的检验)



Leggett 不等式: Phys. Rev. D 101, 096016 (2020)

$$|\alpha_a \alpha_b| |\vec{a}_i \cdot \vec{b}_i + \vec{a}_i \cdot \vec{b}'_i| + \frac{2|\alpha_b|}{3} \left| \sin \frac{\varphi}{2} \right| \leq 2.$$

Report to Collaboration Meeting:



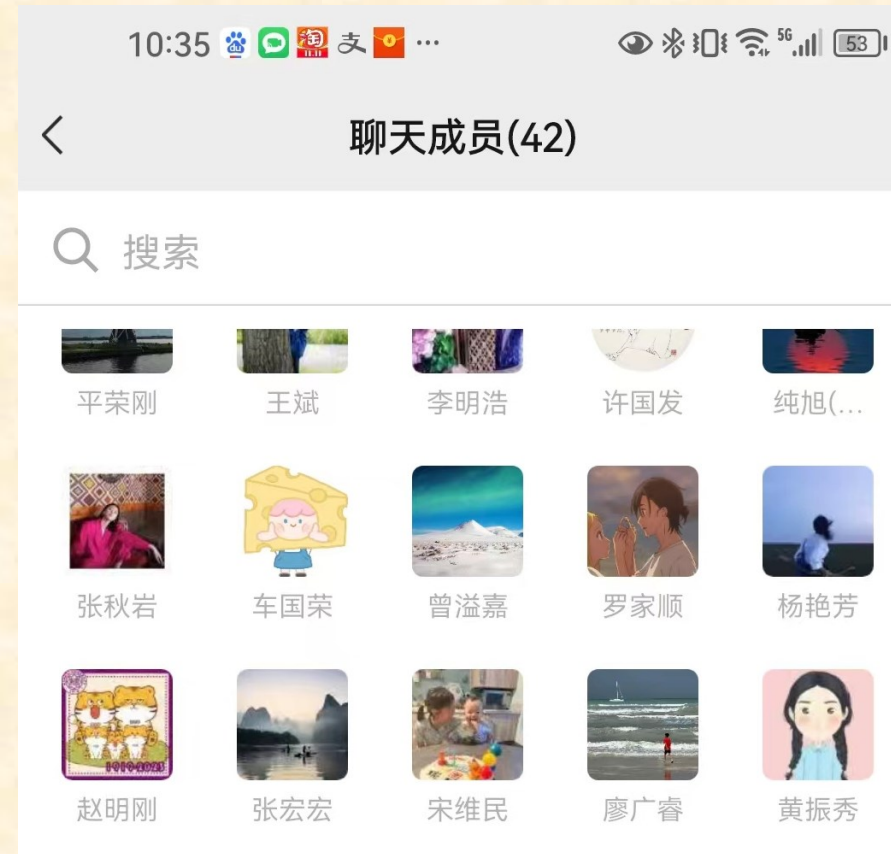
➤ 重子谱的研究

□ GPU 设备上的分波分析软件开发

- ✓ 费曼图自动计算(FDC)系统的GPU实现: FDC + Tensorflow
- ✓ FDC-TF 的物理分析

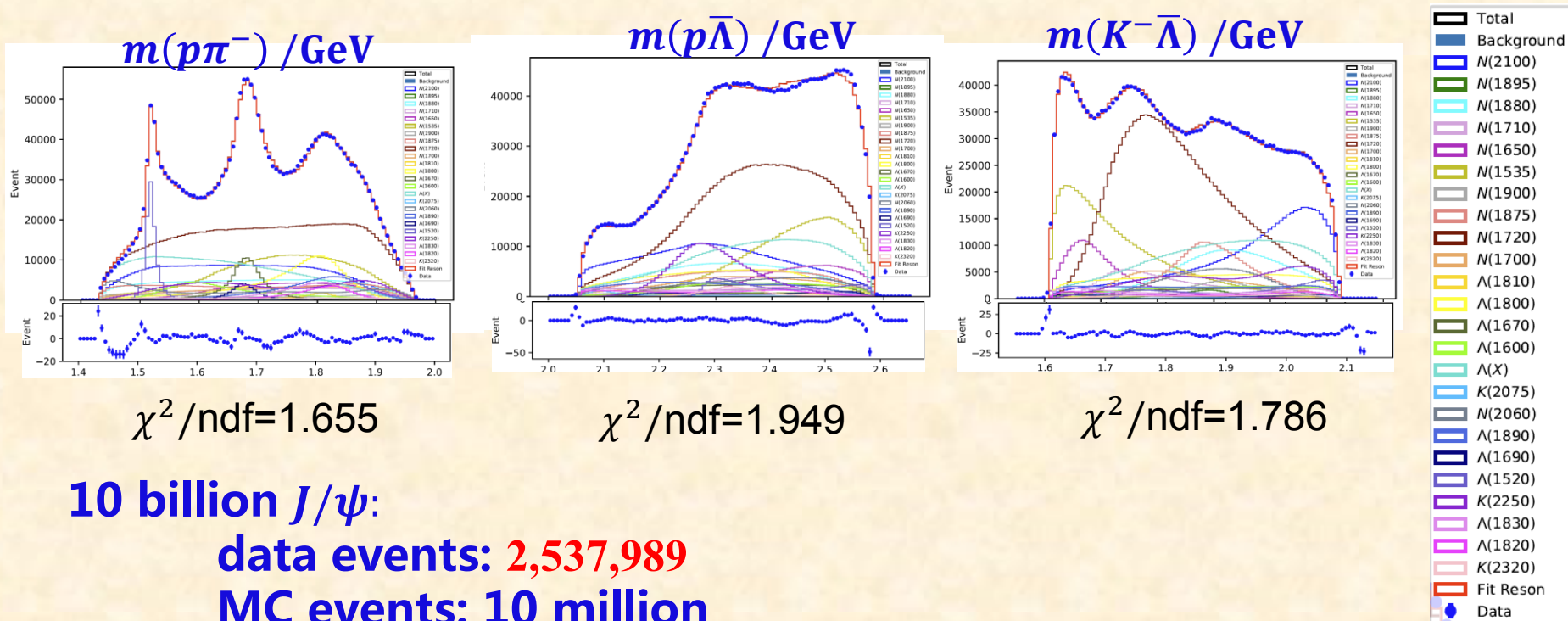
1. PWA $J/\psi \rightarrow \pi^+ \pi^- \Sigma^+ \bar{\Sigma}^-$
2. PWA $J/\psi \rightarrow p\bar{p} K^+ K^-$
3. PWA $J/\psi \rightarrow \phi \eta \eta$
4. PWA $J/\psi \rightarrow \phi \eta \eta'$
5. PWA $\psi' \rightarrow \pi^0 \Sigma^+ \bar{\Sigma}^-$
-

- ✓ FDC版本升级和两大功能扩展
 1. 超子的弱衰变
 2. 辐射衰变
- ✓ pyFDC组会: 每周一晚



N^* 重子谱

- $N(1535), N(1650)$ in $J/\psi \rightarrow pK^-\bar{\Lambda} + c.c.$ From Zhang Qiuyan

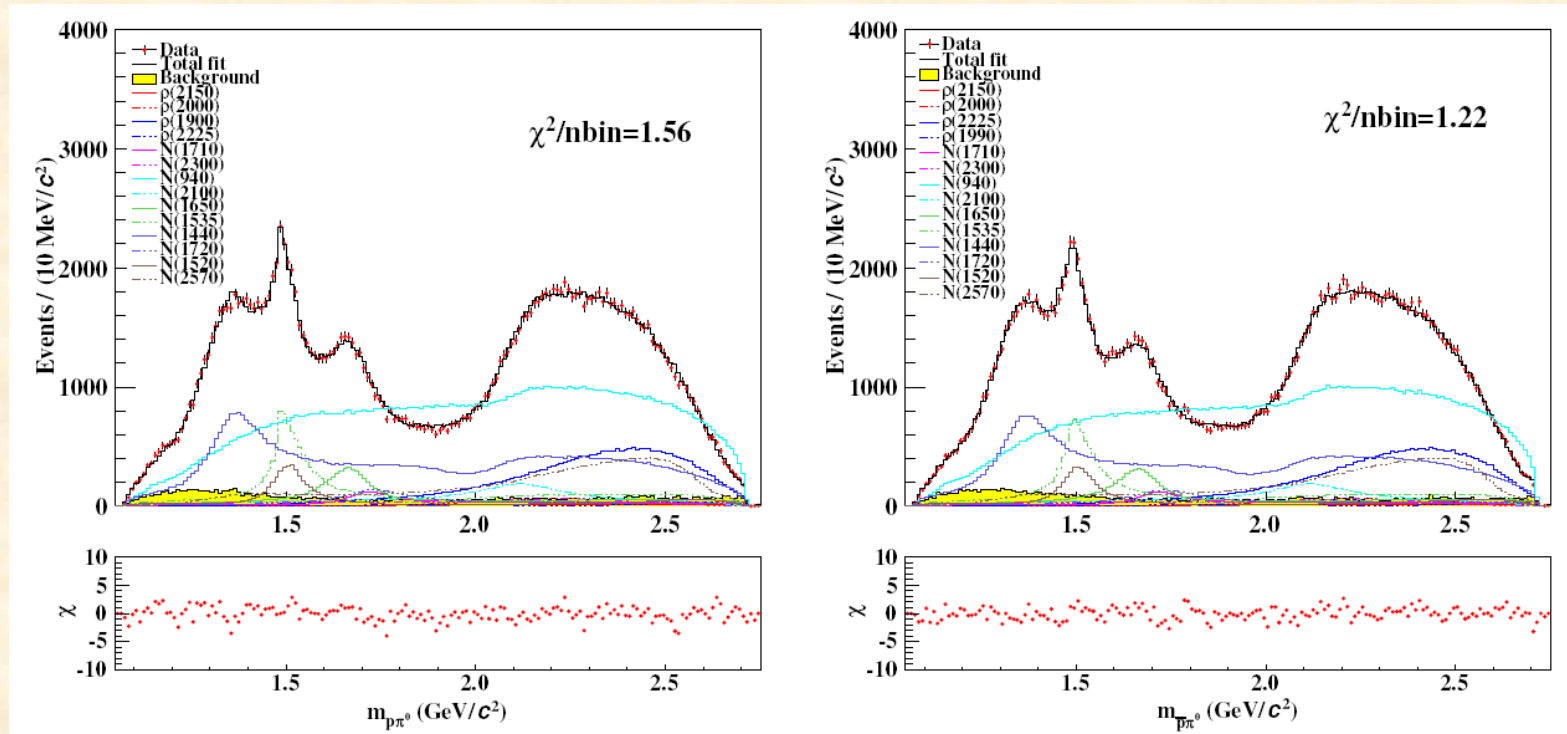


可以确定 $N(1535)$ 与 $N(1650)$ 在 $[70, {}^28]$, $[70, {}^48]$ 组态中的混合

N^* 重子谱

- $N(1535) \rightarrow N\eta$, exotic branching fraction

BAMBAM-00616: 2.7 billion $\psi', \psi' \rightarrow p\bar{p}\pi^0$



N^* running width:

$$\Gamma(\sqrt{s}) = \Gamma_0 \times \sum_i r_i \times \left(\frac{\rho_i(\sqrt{s})}{\rho_i(m_0)} \right),$$

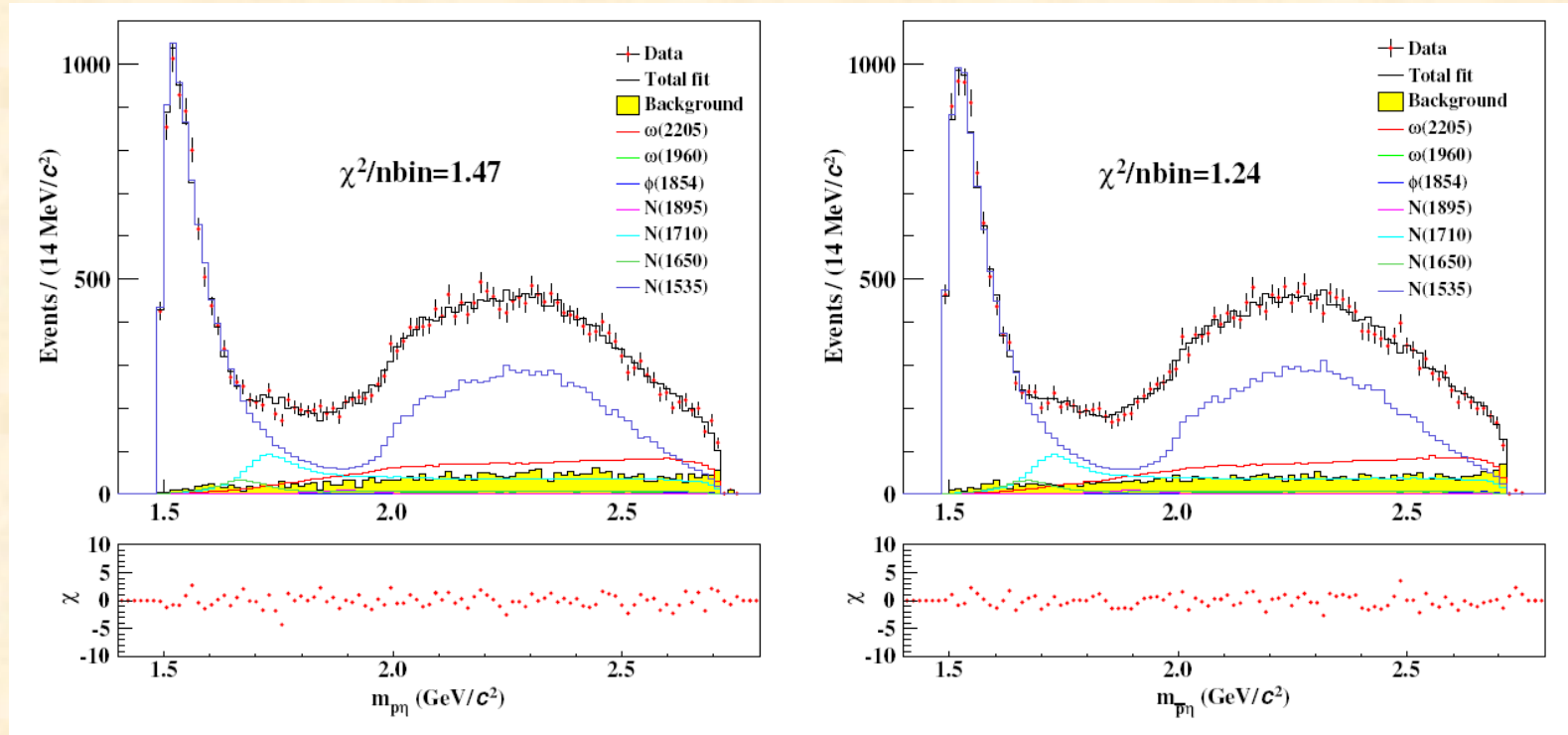
Br: $J/\psi \rightarrow N^*(1535)\bar{p} + cc \rightarrow p\bar{p}\pi^0$

This work: $(17.53 \pm 0.74 \pm 3.64) \times 10^{-6}$
 Previous: $(24.7 \pm 2.8^{+9.9}_{-9.7}) \times 10^{-6}$

N^* 重子谱

- $N(1535) \rightarrow N\eta$, exotic branching fraction

BAMBAM-00616: 2.7 billion $\psi', \psi' \rightarrow p\bar{p}\pi^0$



$\text{Br}: J/\psi \rightarrow N^*(1535)\bar{p} + c.c. \rightarrow p\bar{p}\eta$

This work: $(50.69 \pm 1.29 \pm 7.24) \times 10^{-6}$

Previous: $(52 \pm 3^{+9.9}_{-12}) \times 10^{-6}$

$$\frac{\Gamma_{N(1535) \rightarrow p\eta}}{\Gamma_{N(1535) \rightarrow p\pi^0}} = 0.99 \pm 0.05 \pm 0.19_{16}$$

Λ^* 超子谱

- $\Lambda(1380), \Lambda(1405)$

在耦合道的手征么理论中，在 $KN, \pi\Sigma$ 的阈值附近找到了dipole结构
[Phys.Lett.B500,263]

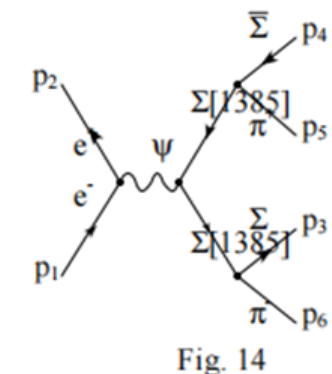
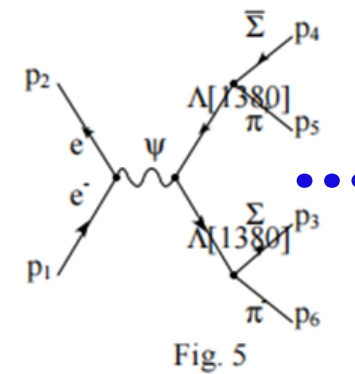
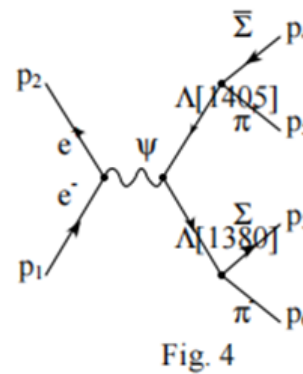
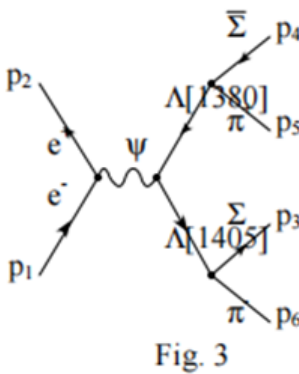
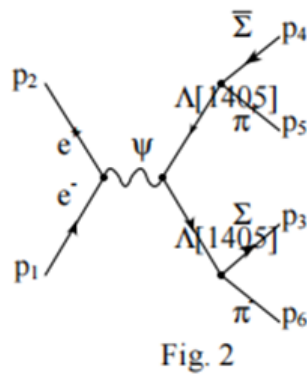
- PDG条目

[Eur. Phys. J. A 51, 3, 30]

$\Lambda(1380)$	$1/2^-$	**
$\Lambda(1405)$	$1/2^-$	****

Solution	Pole 1	Pole 2
#2	$1434^{+2}_{-2} - i 10^{+2}_{-1}$	$1330^{+4}_{-5} - i 56^{+17}_{-11}$
#4	$1429^{+8}_{-7} - i 12^{+2}_{-3}$	$1325^{+15}_{-15} - i 90^{+12}_{-18}$

- $J/\psi \rightarrow \Sigma^+ \bar{\Sigma}^- \pi^+ \pi^-$ (~10 billion J/ψ)



Resonances:

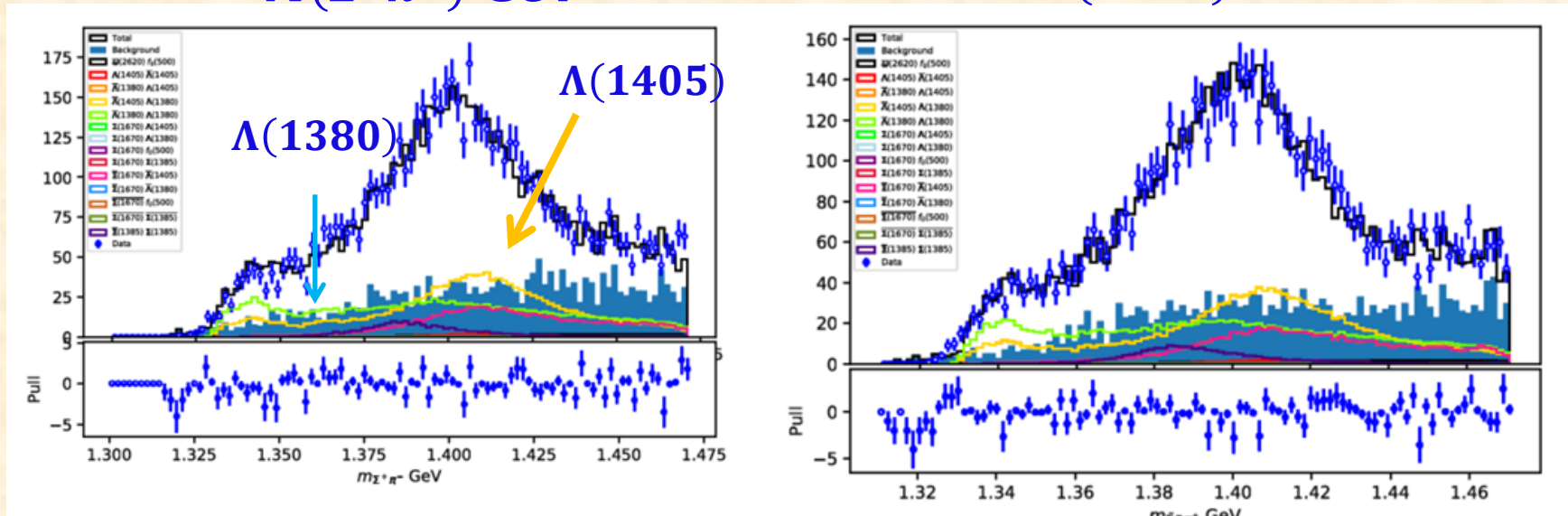
$f(500), \omega(2620), \Lambda(1380), \Lambda(1405), \Lambda(1670), \Sigma(1380)$

Λ^* 超子谱

- $\Lambda(1380), \Lambda(1405)$

$M(\Sigma^+ \pi^-)$ GeV

$M(\bar{\Sigma}^- \pi^+)$ GeV



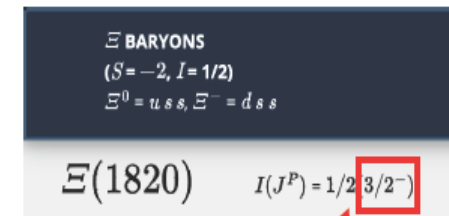
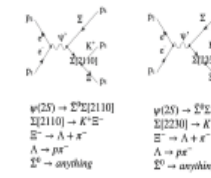
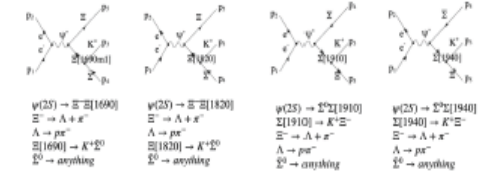
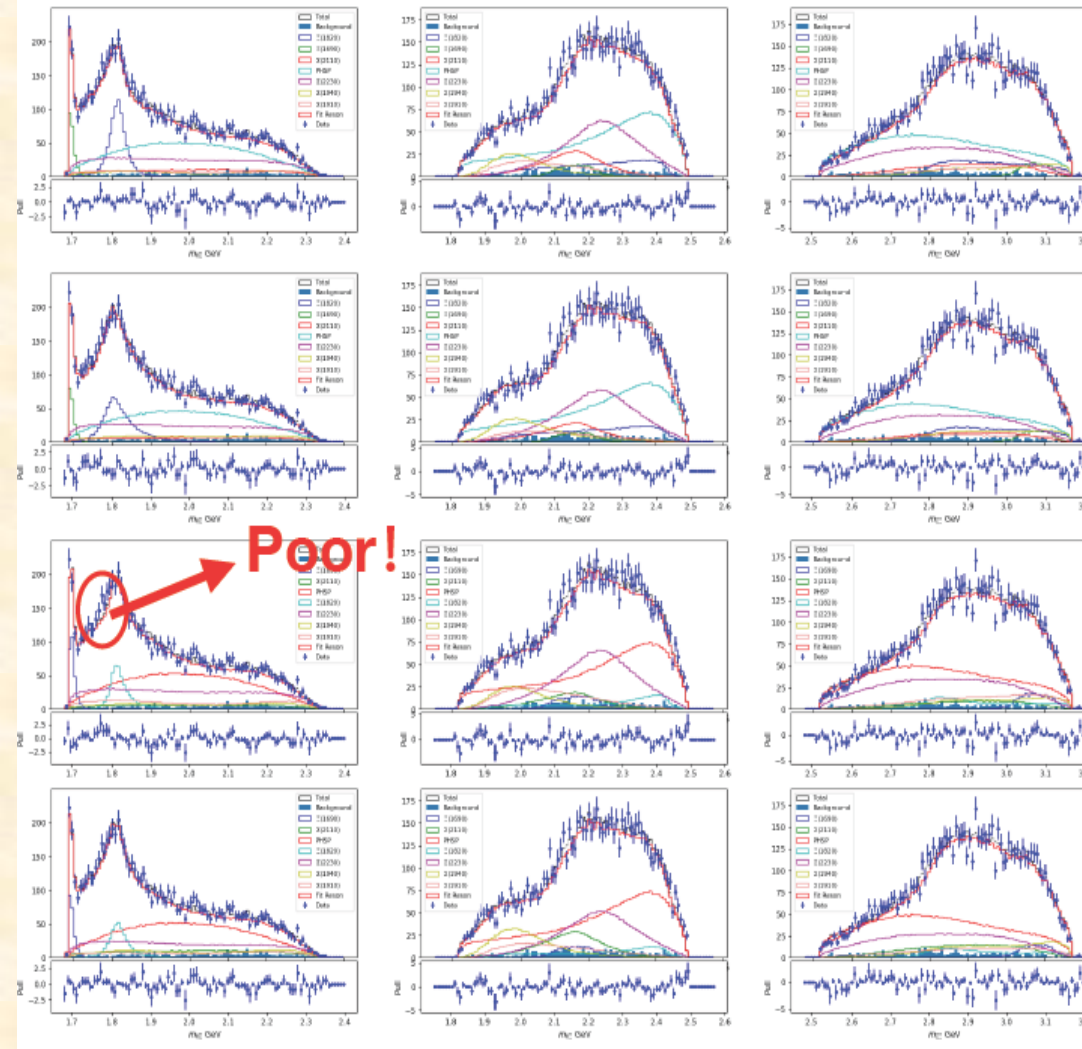
- $\Lambda(1380), \Lambda(1405)$ parametrization

$$\Gamma(\sqrt{s}) = \Gamma_0 \frac{m_0}{\sqrt{s}} \sum_i \mathcal{B}_i \times \left(\frac{\rho_i(\sqrt{s})}{\rho_i(m_0)} \right)^{2L_i+1}$$

	m_0 (GeV)	Γ_0 (MeV)	pole
$\Lambda(1380)$	1.380 ± 0.000	150.4 ± 2.3	$1.329 - 0.042j$
$\Lambda(1405)$	1.411 ± 0.000	39.7 ± 14.2	$1.377 - 0.015j$

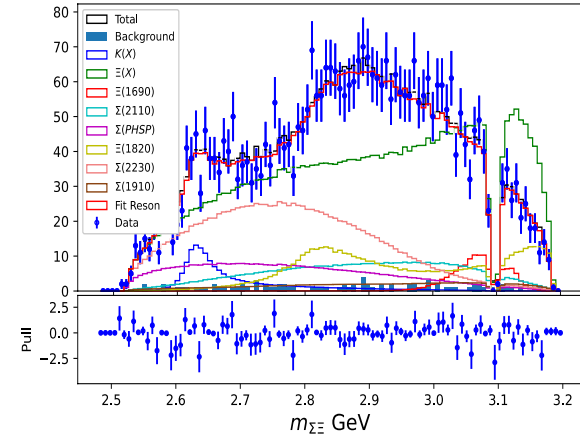
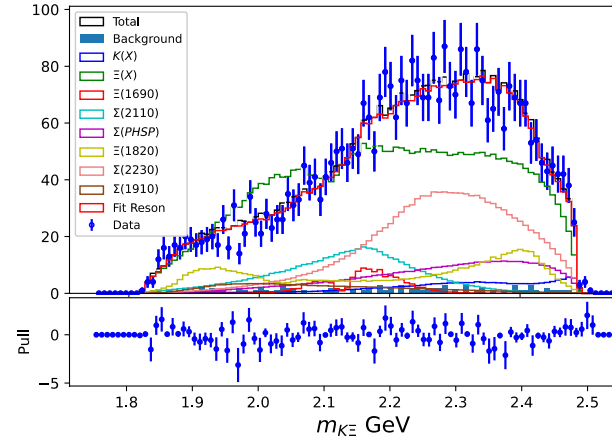
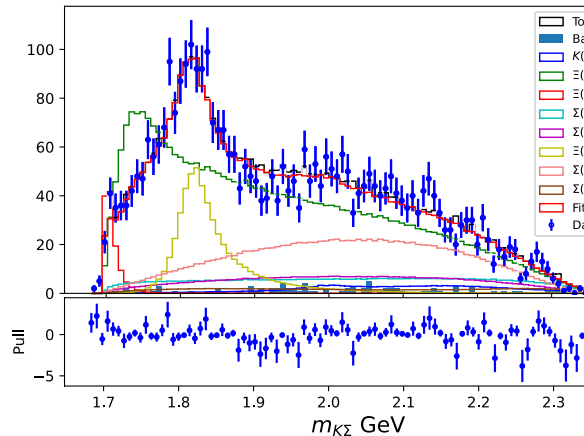
Ξ^* 超子谱

- BAM-00882: $\Xi(1820)$ in $\psi' \rightarrow K^- \Sigma^0 \bar{\Xi}^+ + c.c.$



Ξ*超子谱

- $\Xi(1820)$ in $\psi' \rightarrow K_S^0 \Sigma^- \bar{\Xi}^+ + c.c.$



	J^P	Goodness of fit (1D)	Goodness of fit (2D)	$-\ln L$
Without $\Xi(X)$	\	0.932	1.062	-679.155
With $\Xi(X)$	$\frac{1}{2}^+$	0.930	1.036	-770.415
	$\frac{1}{2}^-$	0.929	1.055	-733.545
	$\frac{3}{2}^+$	0.929	1.044	-735.784
	$\frac{3}{2}^-$	0.930	1.043	-715.102

$$M_{\Xi(1820)} = 1809 \pm 1 \pm 4 \text{ MeV}/c^2$$

$$\Gamma_{\Xi(1820)} = 56.35 \pm 0.93 \pm 5.72 \text{ MeV}/c^2$$

$$J^P_{\Xi(1820)} = \frac{3}{2}^-$$

$$M_{\Xi(X)} = 1719 \pm 1 \pm 1 \text{ MeV}/c^2$$

$$\Gamma_{\Xi(X)} = 83.58 \pm 2.63 \pm 3.16 \text{ MeV}/c^2$$

$$J^P_{\Xi(X)} = \frac{1}{2}^+$$

$$M_{K(X)} = 2626 \pm 2 \pm 10 \text{ MeV}/c^2$$

$$\Gamma_{K(X)} = 43.68 \pm 3.27 \pm 20.29 \text{ MeV}/c^2$$

$$J^P_{\Xi(X)} = 2^-$$

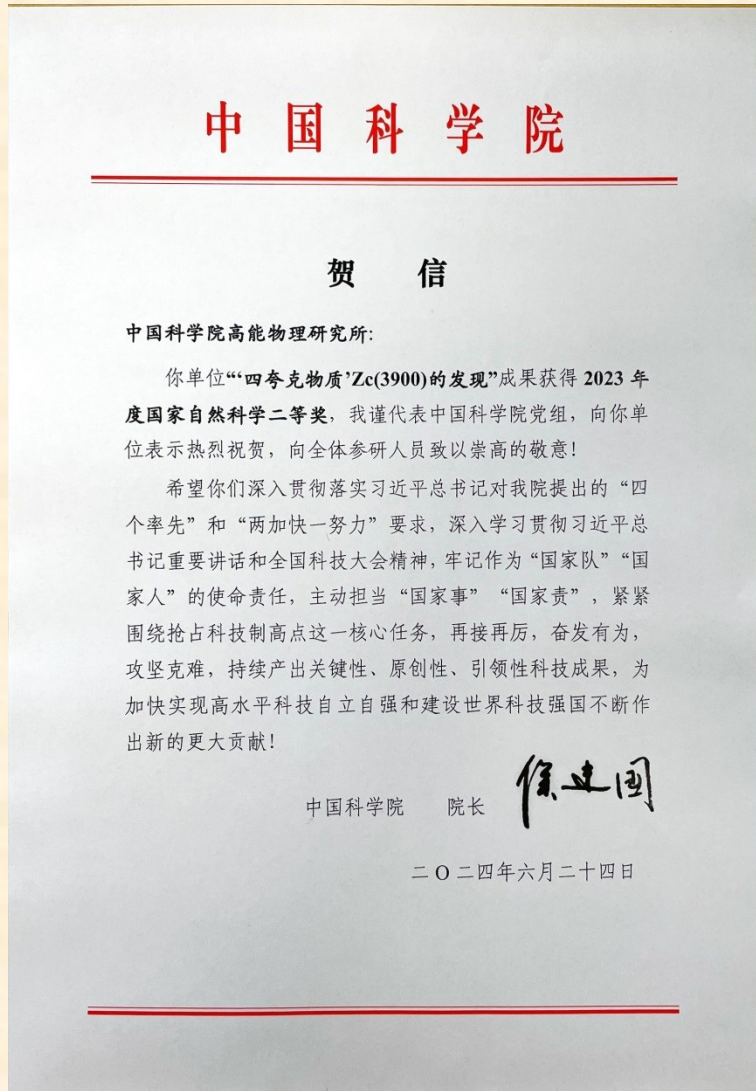
2. 本人研究成果与经费情况

1. BESIII Collaboration, Measurement of the $e^+ e^- \rightarrow p\bar{p}\pi^0$ cross section at $\sqrt{s} = 2.1000\text{-}3.0800 \text{ GeV}$, Phys. Rev., D110, 052006 (2024)
2. BESIII Collaboration, Partial wave analysis of $\psi(3686) \rightarrow \Lambda^-\Sigma^0\pi^0 + c.c.$, arXiv:2408.00495, submit to JHEP.
3. BESIII Collaboration, THE VERIFICATION OF QUANTUM NON-LOCAL CORRELATION IN $\Lambda\bar{\Lambda}$ SYSTEM, submit to Nature Communications.
4. BESIII Collaboration, Study of $e^+e^- \rightarrow \eta\phi$ at center-of-mass energies from 3.773 to 4.600 GeV, Phys. Rev. D108, 112011 (2023).
5. Xu Cao, Yu-Tie Liang, and Rong-Gang Ping, Production and decay of hyperons in a transversely polarized electron-positron collider, Physics Review D110, 014035(2024).

2. 本人研究成果与经费情况

6. Qi Huang, Zi-Xuan Ma, Jia-Jun Wu, Rong-Gang Ping, Jun He, and Hong-Xia Huang, Role of the triangle singularity in the isospin breaking process $J/\psi \rightarrow \Lambda \bar{\Lambda} \pi^0$ and the possible evidence of $\Sigma^* \left(\frac{1}{2}\right)$ states, [Physics Review D110, 034018 \(2024\)](#).
7. Zhe Zhang, Rong-Gang Ping, Tianbo Liu, Jiao Jiao Song, Weihua Yang, and Ya-jin Zhou, Polarization analysis of two baryons with various spin combinations produced in electron-positron annihilation, [Physics Review D110, 0 034034 \(2024\)](#).

3. 获奖情况



2. 本人研究成果与经费情况

➤面上项目

1.主持《北京谱仪III上BELL不等式和隐变量理论的检验》

执行期间： 2022年1月-2025年12月 ,批准号： 12175244

➤参加：

1.重点项目, 主持人: 苑长征 《BESIII实验类粲偶素的寻找和研究》 : 2019.01-2023.12

2.科技部重点专项, 《类粲偶素》

3. 学术交流

➤ 国内会议报告

1. 平荣刚, 蒙特卡洛方法和事例产生器, 北京谱仪十一科学研讨会, 2024年10月1-7, 十堰
2. 平荣刚, 粒子自旋和宇称量子数的测量, 第二届强子物理新发展研讨会暨 强子物理在线论坛100期特别活动, 2024年6月30-7月4日, 合肥, 中国科大
3. 平荣刚, FDC partial wave analysis software and excited-baryon study at BESIII, 强子物理前沿研讨会, 2024年2月19-22日, 惠州, 近代物理研究所
4. 平荣刚, BEPC束流横向极化的测量, 第八届R值与QCD强子结构研讨会, 2027年7月19-22日, 哈尔滨
5. 平荣刚, BESIII上的重子激发态的研究, 第七届强子谱和强子结构研讨会, 2024年4月26-4月30日, 成都
6. 平荣刚, 高能物理实验中粒子自旋和宇称量子数测量, 南高师.沙龙, 2024年5月7日, 南京师范大学

4. 公共服务

➤ BES referee /chair

目前，被分配评审**5篇BES**内部的分析工作。

➤ 谱仪运行负责人(14天)

➤ 国科大研究生课程教学：《实验模拟与分析》章节：蒙特卡洛方法，事例产生子

➤ 指导学生的工作

高能所研究生1名，

联合培养研究生：9名

联合指导毕业生论文：3人（洪鹏程，李明浩，王旨）

硕士升入博士生：4人（张秋岩，黄振秀，洪鹏程，李明浩）

三、存在问题和下年度工作计划

- 现有的重子样本统计量，对我们的FDC-TF计算能力提出了挑战。
- 优化GPU分波软件的算法，进一步提高计算效率
- 推进物理分析工作的进展，争取多出成果，出好成果，完成获批项目中的工作
- 做好BOSS产生子软件的维护和升级工作，为物理分析提供支持

谢谢大家